

VİTERBİ ALGORİTMASI KULLANILARAK GMSK MODÜLASYONUNUN GERÇEKLEŞTİRİLMESİ

Refet RAMİZ, Akıl KAVAS, Yener ÜLKER

¹Yıldız Teknik Üniversitesi, Elektrik-Elektronik Fakültesi, Elektronik ve Haberleşme Mühendisliği Bölümü
80750, Beşiktaş / İSTANBUL, Tel: 259 70 70, Dahili: 2880, Fax: 0212 259 49 67,
e-mail: kavas@yildiz.edu.tr, ramiz@yildiz.edu.tr, http://personel.cc.yildiz.edu.tr

Anahtar Sözcükler: Viterbi Algoritması, Modülasyon, GMSK, Sayısal haberleşme

ABSTRACT

In this work, we studied continuous phase modulation techniques (CPM). Spectrum analysis and estimation has been made in order to compare different modulation types. Mathematical Description of GMSK and MSK modulation techniques are made and phased equations are developed for GMSK. By using these equations Trellis diagram has shown and optimum decoding process (Viterbi Algorithm) has been developed. The differences between the GMSK ($BT=0.5$) and MSK phase characteristics are expressed and reinforced by MATLAB results.

1.GİRİŞ

Sayısal haberleşme teorisinde, iletim ortamının özelliklerine göre değişik modülasyon ve kodlama işlemleri uygulanmaktadır. Özellikle mobil haberleşmede, Rayleigh bayılmamın bulunduğu ortamlarda bilginin işaretin fazında gönderildiği sabit genlikli faz modülasyonları tercih edilmiştir. Bayılmamın maksimum düzeyde etkili olduğu mobil haberleşme ortamında bir diğer problem ise band genişliğinden yararlanmaktadır. Tahsis edilen band genişliği içerisinde arzu edilen düzeydeki bit hızlarının erişebilmek ve kanallar arası interferansı engellemek için, güç spektrumunu tasarımlı kullanmış modülasyon sistemlerine ihtiyaç vardır. Bu amaçla Avrupa GSM sisteminde GMSK modülasyon teknigi kullanılmaktadır. Sürekli faz modülasyonlarının en önemlilerinden olan GMSK modülasyon teknigi frekans darbe yanılı olarak Gauss eğrisi kullanılması nedeniyle Gaussian Minimum Shift Keying olarak isimlendirilir.

Sürekli faz modülasyonlarında (CPM) işaretin zarfı zamanda sürekli dir. Bu özellik onu güç yoğunluk spektrumu ve bandgenişliği açısından diğer türlerle göre çok daha verimli kılar. CPM: mobil, uydu haberleşmesi ve her türlü haberleşme sisteminde kendine yer bulmaktadır. MSK; NASA'nın ACTS (Advanced Communication Technology Satellite) sisteminde, GMSK; A.B.D. 'de hibresel sayısal paket veri sisteminde (CDPD) ve Avrupa GSM sisteminde kullanılmaktadır.

2. SÜREKLİ FAZ MODÜLASYONLARI

CPM Modüle edilmiş işaret bütün zaman ekseni boyunca tamamlanmaktadır. Dezavantaj ise daha kompleks modülatör ve demodülatör gerektirmesidir. Sürekli faz modülasyonlu işaret aşağıdaki şekilde ifade edilebilir.

$$s(t) = A \cos(2\pi f_c t + \phi(t, a)) \quad (1)$$

Burada $s(t)$, A genliğine, f_c taşıyıcı frekansına ve $\phi(t, a)$ fazına sahip modüle edilmiş işaretdir. Gonderilen a sembol dizisinin fazı ayrı olarak şu şekilde ifade edilir:

$$\phi(t, a) = 2\pi h \sum_{k=-\infty}^{\infty} a_k q(t - kT) \quad (2)$$

Burada $q(t)$

$$q(t) = \int_{-\infty}^t g(\tau) d\tau \quad (3)$$

olarak tanımlanır. h modülasyon indeksi reel bir sayıdır. $g(t)$ fonksiyonu ise $q(t)$ 'nın hesaplamasında kullanılır ve frekans darbe şekli (*frequency pulse shape*) olarak tanımlanmaktadır. $q(t)$ fonksiyonu (CPM) frekans spektrum özelliklerini belirleyen en önemli faktörlerden biridir. Modülasyon isimleri frekans darbe şekline göre verilir. $q(t)$ fonksiyonu $0 \leq t \leq LT$ aralığında tanımlanmış bir fonksiyondur. $L \leq 1$ olduğunda tam yanılı darbe şekli elde edilir ve bütün darbe tek bir (T) sembol süresi içindedir. $L \geq 1$ olduğunda ise darbenin sadece belli bir bölümü (T) bit sembol aralığındadır. Bu parça yanılı darbe şekli olarak da adlandırılır.

$g(t)$ darbe şekli, modülasyon indeksi ile sembol alfabeti M değiştirilerek, değişik (CPM) işaret elde edilebilir. Kullanılan bütün darbe fonksiyonları aşağıda verilen ifadeye göre normalize edilmiştir.

$$\int_{-\infty}^{\infty} g(t) dt = 1/2 \quad (4)$$

Normalizasyon işaretin periyodu boyunca maksimum faz değişiminin ($M-1$) π olmasını sağlamaktadır. Bu darbe şekillerinden oluşturulan modülasyonların başıcaları LREC, LRC, 3SRC, TFM, GMSK'dır.

GMSK için frekans darbe yanıtını yani $g(t)$ fonksiyonunu aşağıdaki şekilde komplementer hata fonksiyonlarına bağlı olarak ifade edilebilir.

$$g(t) = \frac{1}{2T} \left[Q\left(2\pi B_b \frac{t - T/2}{\sqrt{\ln 2}} \right) - Q\left(2\pi B_b \frac{t + T/2}{\sqrt{\ln 2}} \right) \right] \quad (5)$$

Komplementer hata fonksiyonu:

$$Q(x) = \frac{1}{\sqrt{2\pi}} \int_x^{\infty} \exp\left(-\frac{u^2}{2}\right) du \quad (6)$$

Eşitliğiyle ifade edilir. Burada B_b , Gauss eğrisi spektrumuna sahip filtrenin band genişliğidir T bit periyodunu göstermek üzere temel band iletim sistemlerinde tanımlanan BT katsayısi (BT product) burada da tamlanabilir.

$$B_N = B_b T \quad (7)$$

$g(t)$ NRZ işaretin birim genlige sahip Gauss alçak geçiren filtredeki geçirilerek de elde edilebilir. Bu filtrenin darbe yanımı,

$$h(t) = \sqrt{\frac{2\pi}{\ln 2}} B_b \exp\left(-\frac{2\pi^2 B_b^2 t^2}{\ln 2}\right) \quad (8)$$

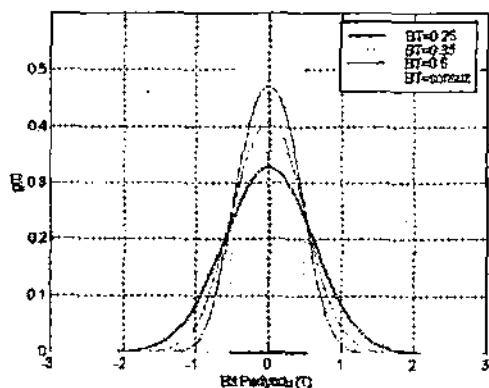
olmalıdır.

$g(t)$ fonksiyonunu sayısal işleme uygun hale getirmek için sayısal formatta şu şekilde ifade edilebilir.

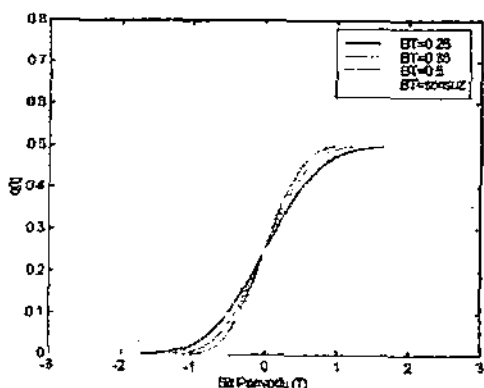
$$g_n = \frac{1}{2\eta} \left[Q\left(\frac{2\pi}{\sqrt{\ln 2}} B_N \left(\frac{n}{\eta} - \frac{1}{2}\right)\right) - Q\left(\frac{2\pi}{\sqrt{\ln 2}} B_N \left(\frac{n}{\eta} + \frac{1}{2}\right)\right) \right] \quad (9)$$

Burada n bir periyodun kaç sinyal işleme noktasından olacağını η ise L boyunca sayısal işleme değişkenini göstermektedir. $g(t)$ ve $q(t)$ fonksiyonumuzun değişik $B_b T$ değerlerindeki darbe şekilleri verilmiştir. Darbe yanıt fonksiyonunu incelediğinde B_N değerinin sonsuza yaklaşması durumunda $L=1$ olmaktadır ve tam yanılı bir modülasyon elde edilmektedir. Yapınmaya çalışılan işaretin L periyod üzerine dağıtıarak frekans spektrumunun daha efektif hale getirmek ve ortak kanal interferansından kurtulmaktadır. İşaretin zaman içinde dağıtılmaması istenerek yaratılan ISI olarak görmek mümkündür. Bu durum Viterbi Algoritmasının bir özelliği de ortaya çıkmaktadır. VA, ISI'nın bulunduğu bir kanalda maksimum

Farklı B_N değerleri için frekans darbe yanımı Şekil-1'de verilmiştir. Şekil-2'de $g(n)$ ifadesinden hareketle, farklı B_N değerleri için $q(t)$ fonksiyonları verilmiştir.



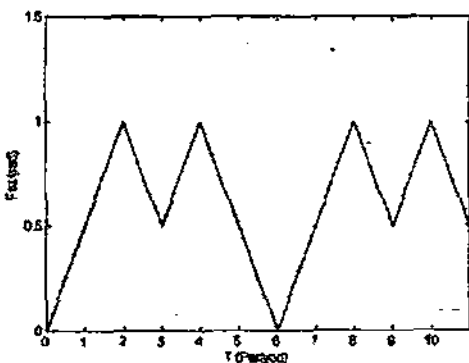
Şekil 3 GMSK modülasyonda değişik B_N değerleri için frekans darbe yanımı



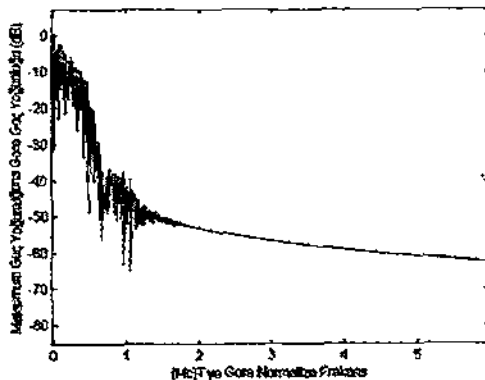
Şekil 4 GMSK için $q(t)$ fonksiyonları

MATLAB programında $h=1/2$ modülasyon indeksine sahip $B_N=0.5$ olan GMSK modülatör kodu yazılmış ve bu modülatör yardımıyla GMSK nın faz değişim grafiği çizilmiştir ve Şekil-6'da verilmiştir.

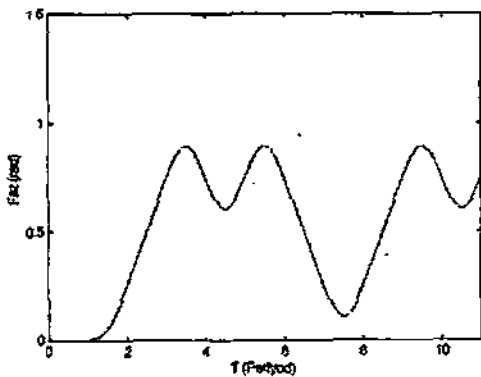
[1 1 0 1 0 0 1 1 0 1 0] giriş dizisi için MSK ve GMSK faz diyagramları Şekil-3 ve Şekil-6'da görülmektedir. MSK ile GMSK arasındaki en önemli fark symbol periyodunda faz geçişlerinin sert değil yumuşak olmasıdır. İşte bu özellik GMSK nın frekans spektrumunda daha dar bir ana lob ve daha küçük yan loblara sahip olmasını sağlar.



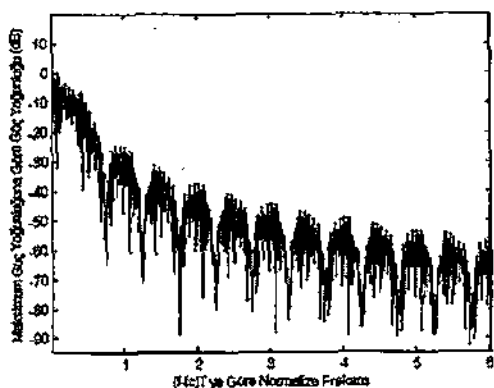
Şekil 5 MSK faz diyagramı



Şekil 8 GMSK işaretin güç yoğunluk spektrumu



Şekil 6 GMSK faz diyagramı



Şekil 7 MSK işaretin güç yoğunluk spektrumu

GMSK yan loblarının diğer modülasyonlara göre çok az olması interferansı azalttığı ve işaretin glicini dar bir spektrumda topladığı için günümüzde çokca tercih edilen bir modülasyon türüdür. Bir diğer özelligi ise özellikle MSK'nın geniş olan ana lobunun daralmaması sağlamasıdır. Çünkü MSK'nın yan loblarının QPSK gibi modülasyon türlerine göre az olmasının yanında ana lobunun geniş olması gibi bir dezavantajı vardır. Öyleki bu ana lobun genişliği CCITT'nin mobil haberleşme için koyduğu standartları ancak sınırlarda karşılayabilmektedir. **MATLAB** programında gerçekleştirilen MSK ve GMSK'nın modülatörlerinin çıkışları, FFT fonksiyonu yardımıyla incelenmiştir.

3.GMSK MODÜLASYONUNUN VİTERBI ALGORİTMASIyla ÇÖZÜMÜ

V.A'nın sürekli faz modülasyonlarını optimum çözümü için kullanılmaktadır. GMSK için modülasyon indeksini $h=1/2 L$ katsayısim 3 seçenek pM¹ bağıntısından toplam 16 durum olacaktır. L katsayısim, frekans darbe yanıtına bağlı olarak BT katsayısimının 0.3 den büyük olduğu durumlar için 3 seçenek uygun düşmektedir. Viterbi algoritmasını uygulanabilecegi GMSK kafes diyagramı Şekil-9'da verilmiştir.

Kafes diyagramundada gözükmemektedirki toplam 16 durum olmasına rağmen her bit periyodunda bu 16 durumunun hepsi kullanılmamaktadır. Öyleki 16 duruma karşı her sembol aralığında, M=2 olduğu için 32 metrik hesaplamamız gerekip, Şekil-9'da sadece 16 metriğin hesaplanması gerektiği görülmektedir. Fakat ard arda gelen sembollerin faz koşullarının birbirinden farklı oluşu toplam durum sayısını 16 olarak belirler. Kullanılan sembol aralıklarındaki sabit ve değişken faz bağıntıları aşağıda verilmiştir.

Her simbol aralığı için (a_n) algılanan n inci biti göstermek üzere faz fonksiyonları $0-5T$ aralığında aşağıdaki şekilde tamamlanabilir.:

$0 < t < T$ aralığında,

$$\phi(t, a) = \pi[a_{-2}q(t+2T) + a_{-1}q(t+T) + a_0q(t)] + \theta_0 \quad (10a)$$

$T < t < 2T$ aralığında,

$$\phi(t, a) = \pi[a_{-1}q(t+2T) + a_0q(t+T) + a_1q(t)] + \theta_1 \quad (10b)$$

$2T < t < 3T$ aralığında,

$$\phi(t, a) = \pi[a_0q(t+2T) + a_1q(t+T) + a_2q(t)] + \theta_2 \quad (10c)$$

$3T < t < 4T$ aralığında,

$$\phi(t, a) = \pi[a_1q(t+2T) + a_2q(t+T) + a_3q(t)] + \theta_3 \quad (10d)$$

$4T < t < 5T$ aralığında,

$$\phi(t, a) = \pi[a_2q(t+2T) + a_3q(t+T) + a_4q(t)] + \theta_4 \quad (10e)$$

Bu bağıntılar önceden anlatığımız gibi değişken (t 'ye bağlı) ve sabit kısımlardan oluşmaktadır. Yukarıdaki denklemlerde değişken kısımlar açıkça gözükürken, sabit kısımlar θ terimiyle kapalı olarak tanımlanmıştır. Bu sabit faz değerlerinin açılımını, θ_n 'i ilk değer kabul ederek ifade edilecek olursa..

$$\theta_0 = \theta_n \quad (11a)$$

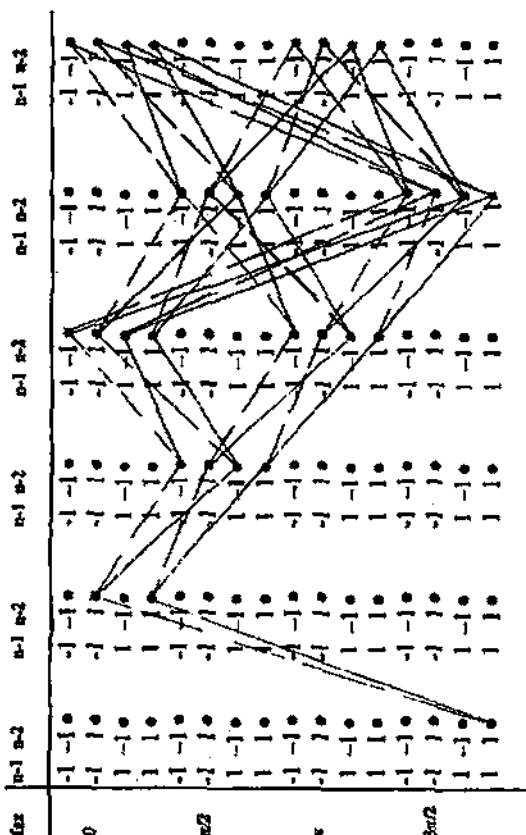
$$\theta_1 = \theta_n + \frac{\pi}{2}a_{-2} \quad (11b)$$

$$\theta_2 = \theta_n + \frac{\pi}{2}(a_{-2} + a_{-1}) \quad (11c)$$

$$\theta_3 = \theta_n + \frac{\pi}{2}(a_{-2} + a_{-1} + a_0) \quad (11d)$$

$$\theta_4 = \theta_n + \frac{\pi}{2}(a_{-2} + a_{-1} + a_0 + a_1) \quad (11e)$$

Yukarıdaki sabit faz terimlerinden, (a_n)'ın her olasılığı için sabit faz değeri bulunursa, tek bir ifadeının ancak iki ayrı faz değerine sahip olduğu görülür. Bu durum, kafes diyagramının aynı metrik içinde 4 değil ancak iki duruma gitmesine neden olmaktadır.



Şekil 9 GMSK kafes diyagramı

4.SONUÇ

GMSK modülasyon tekniği mobil sistemlerde frekans spektrumunun dar olması sonucu interferansa dayaklı bir sistem elde edilmesini sağlar. Faz değişiminin hızı, kullanılan gauss filtresinin BT katsayısı değiştirilerek ayarlanabilir. Sürekli faz modülasyonlarının genel bir özelliği olarak, 1 bitin iletimi tek bir T bit periyodu boyunca değil $L T$ periyodu boyunca devam etmekte ve bu süre sonunda faz değişimine etkisi işaret iletimi boyunca sabittir. Bu nedenle n 'inci bit iletildiğinde faz değişiminin içinde önceki tüm bitlerin faz bilgisi bulunur. Sürekli faz modülasyonları bu özelliklerinden dolayı hafızalı modülasyon olarak bilinir. Sürekli faz modülasyonlarında kullanılan filtrelerin özelliklerine dayanarak sistemin karakteristiklerine en uygun spektruma sahip olacak frekans darbe şekli tasarlanabilir. Spektrum yapısındaki kazanç daha kompleks demodülatörlere, dolayısıyla demodülasyonda kullanılan algoritmanın daha kompleks hale gelmesine neden olmaktadır.

KAYNAKLAR

- [1] Xiong, Fuqin, 'Digital Modulation Techniques', Boston: Artech House, c2000

- [2] Sklar, Bernard, 'Digital Communications', Englewood Cliffs, NJ: Prentice-Hall, c1988
- [3] Steele, Raymond, 'Mobile Radio Communications', London, Pentech Press, c1992.
- [4] Peebles, Peyton Z., 'Digital communication systems' Englewood Cliffs, N.J.: Prentice-Hall, c1987
- [5] Cooper, George R, 'Modern Communications and Spread Spectrum', New York, McGraw-Hill, c1986
- [6] Proakis, John G, 'Digital Communications', New York, McGraw-Hill, c1989
- [7] Proakis, John G, 'Digital Signal Processing', New York, Macmillan, c1992
- [8] Cooper, George R. ve McGillen, Clare D.- Çeviren: Yücel, Metin 'İşaret ve Sistem Analizinde Olasılık Yöntemleri' Yıldız Teknik Üniversitesi Yayınları, c1988.

Bölümünden bölüm 2. si olarak mezun oldu. Yine Ocak 1996'da bölüm 1. si ve Fen Bilimleri Enstitüsü 2. si olarak Haberleşme Yüksek Mühendisi Ünvanını aldı. Mayıs 2000'de doktor mühendis ünvanını alarak Y.T.Ü. Elektrik-Elektronik Fakültesi, Elektronik ve Haberleşme Müh. Böl., Elektromagnetik Alanlar ve Mikrodalga Tekniği Anabilim Dalında Yard.Doç. olarkı öğretim üyeliği görevine başladı. Refet RAMİZ, aynı zamanda European Circuit Society (ECS), IEEE Microwave Theory and Techniques Society, IEEE Antennas and Propagation Society ve IEEE Electromagnetic Compatibility Society bilimsel kuruluşlarına üyedir. (<http://personel.cc.yildiz.edu.tr>)

Aktül KAVAS, 1978'de İ.T.Ü.

Haberleşme Müh. Bölümünden mezun olduktan sonra 1982-1984 yılları arasında İ.T.Ü. Nükleer Enerji Enstitüsüne devam etti ve bu bölümünden yüksek mühendis ünvanını aldı. Daha sonraları Yıldız Teknik Üniversitesinde doktora eğitimiine başladı. 1991 yılında doktora ünvanını aldıktan sonra Y.T.Ü. Elektrik-Elektronik Fakültesi, Elektronik ve Haberleşme Müh. Bölümüne bağlı Elektromagnetik Alanlar ve Mikrodalga Tekniği Anabilim Dalında Yardımcı Doçent olarak öğretim üyeliği görevine başlıdı. Halen aynı anabilim dalında öğretim üyeliği görevini devam ettirmektedir.



Yener ÜLKER, 1978'de İstanbul'da doğdu. 1983'de Beşiktaş İlköğretim Okulu'nda eğitim hayatına başladı. 1988 yılında Kadıköy Anadolu lisesine girdi, ortaokul ve lise öğrenimini burada tamamladı. 1996'da Yıldız Teknik Üniversitesi Elektronik ve Haberleşme Mühendisliği bölümünde lisans öğrenimine başladı ve 2000 yılında Elektronik ve Haberleşme Mühendisi derecesini aldı.



Refet RAMİZ, 17 Temmuz 1971'de Lefkoşa / K.K.T.C. 'de doğdu. İlk. Orta ve Lise eğitimini Kıbrıs'ta tamamladı. Temmuz 1993'de Yıldız Teknik Üniversitesi, Elektronik ve Haberleşme Mühendisliği

